

# การดูดซับnickel ( $Ni^{2+}$ ) โดยแกลบและแกลบที่ปรับสภาพ

## Adsorption of Nickel ( $Ni^{2+}$ ) by Rice Husk and Modified Rice Husk

นิติศ นามชารี<sup>1</sup>, ปานใจ สื่อประเสริฐสิทธิ์<sup>2</sup>, ชายุกร พระบารุง<sup>3</sup>

Nitit Namcharee<sup>1</sup>, Panjai Saueprasearsit<sup>2</sup>, Thayukorn Prabamroong<sup>3</sup>

Received: 17 August 2017 ; Accepted: 19 December 2017

### บทคัดย่อ

การศึกษาการนำนิกเกิล ( $Ni^{2+}$ ) ด้วยกระบวนการดูดซับโดยใช้แกลบและแกลบที่ปรับสภาพด้วยกระบวนการ Alkali-Acid Modification เป็นตัวดูดซับ โดยปัจจัยการดูดซับที่ทำการศึกษาประกอบด้วย ความเป็นกรด-ด่าง ระยะเวลาสัมผัส และอุณหภูมิ นอกจากนี้ ได้มีการศึกษาถึงการดูดซับ โดยทำการศึกษาไฮโซเทอร์ม จนศาสตร์ และอุณหพลศาสตร์การดูดซับ รวมถึงการถ่ายซับเพื่อหาวิธีการในการจัดการวัสดุดูดซับหลังผ่านการดูดซับ

ผลการศึกษาพบว่าสภาวะที่เหมาะสมต่อการดูดซับคือที่ pH 5 ระยะเวลาสัมผัส 60 นาที ความเข้มข้นของนิกเกิลเริ่มต้นและอุณหภูมิที่เหมาะสมที่ 30 องศาเซลเซียส ซึ่งในสภาวะดังกล่าวสามารถดำเนินการดูดซับของแกลบและแกลบที่ปรับสภาพสูงสุด 2.80 และ 3.20 มิลลิกรัมต่อลิตร ตามลำดับ และเมื่อนำผลการศึกษาปัจจัยมาศึกษาแล้วได้รู้ว่า "ไฮโซเทอร์ม" การดูดซับสอดคล้องกับสมการ Langmuir เป็นการดูดซับแบบขั้นเดียว จนศาสตร์การดูดซับสอดคล้องกับ Pseudo-Second-Order ซึ่งแสดงให้เห็นว่าที่ขั้นตอนในการกำหนดอัตราเร็วของการดูดซับขั้นอยู่กับปฏิกิริยาการดูดซับทางเคมี ปฏิกิริยาที่เกิดขึ้นสามารถเกิดขึ้นได้เอง และเป็นปฏิกิริยาโดยความร้อน (Exothermic Reaction) ผลจากการศึกษาการถ่ายซับพบว่าแกลบและแกลบที่ปรับสภาพประสิทธิภาพมีประสิทธิภาพการถ่ายซับค่อนข้างต่ำ ประสิทธิภาพการถ่ายซับสูงสุดที่ความเข้มข้นของกรดไนโตริกความเข้มข้น 1.5 มोลาร์ มีค่าเพียง 22.99%, 29.19% ตามลำดับ จากการศึกษาการถ่ายซับวัสดุหลังจากผ่านการดูดซับควรนำไปฝังกลบอย่างปลอดภัยเนื่องจากประสิทธิภาพการถ่ายซับค่อนข้างต่ำทำให้ส่งผลเสียต่อสิ่งแวดล้อมได้แน่นอน

**คำสำคัญ:** แกลบ แกลบที่ปรับสภาพ การดูดซับ นิกเกิล

### Abstract

This research studied adsorption of Nickel ( $Ni^{2+}$ ) by rice husk and modified rice husk by the Alkali-Acid Modification. The adsorption factors studied were the acid – base , contact time and temperature. Moreover, we studied adsorption in isotherm thermodynamics, kinetics and also desorption.

The optimum condition for adsorption was pH 5 with a contact time of 60 minutes and the initial concentration of Nickel was 50 mg/l of 30°C, in which conditions, the adsorption capacity was 2.80 and 3.20 milligrams per liter, respectively. The results of the study conducted by the mechanism of adsorption isotherms that's match with the Langmuir equation, the adsorption of monolayer, Kinetic match to Pseudo Second Order Reaction to absorption the second stage, get diffusion within the pores volume and equilibrium. Reaction can occur by itself. That's an Exothermic Reaction. The results of the desorption study showed that rice husk and modified rice husk perform the desorption when the concentration of nitric acid solution of 1.5 M is 22.99% and 29.19% respectively. After the study of desorption, material should be safely landfilled because of its low effect on the environment.

**Keywords:** rice husk, modified rice husk, adsorption, nickel

<sup>1</sup> นิสิตระดับปริญญาโท หลักสูตรเทคโนโลยีสิ่งแวดล้อม, คณะสิ่งแวดล้อมและทรัพยากรศาสตร์ มหาวิทยาลัยมหาสารคาม

<sup>2,3</sup> อาจารย์, คณะสิ่งแวดล้อมและทรัพยากรศาสตร์ มหาวิทยาลัยมหาสารคาม

<sup>1</sup> Master Degree's Student, Faculty of Environment and Resource Studies, Mahasarakham University, Kantharawichai District, Maha Sarakham, 44150, Thailand. Max.nitit@gmail.com

<sup>2,3</sup> Lecturer, Faculty of Environment and Resource Studies, Mahasarakham University, Kantharawichai District, Maha Sarakham, 44150, Thailand. panjai@msu.ac.th

## บทนำ

ปัจจุบันได้มีการนำโลหะหนังมาใช้อย่างกว้างขวางโดยเฉพาะอย่างยิ่งนิเกลที่นิยมใช้ในอุตสาหกรรมการผลิตแบตเตอรี่สแตนเลส และอุตสาหกรรมชูบโลหะ<sup>1</sup> เมื่อมีการนำมาใช้โอกาสที่โลหะหนังจะบันเป็นปีอนลงสู่ธรรมชาติ ก็จะมีมากขึ้น โดยมาตรฐานนำทิ้งจากโรงงานอุตสาหกรรมอนุญาตให้มีนิเกลปนเปื้อนมากับน้ำเสียไม่เกิน 1 มิลลิกรัมต่อลิตร<sup>2</sup> ผลกระทบของนิเกลที่มีต่อสุขภาพมีทั้งชนิดเฉียบพลันและเรื้อรัง ทำให้เกิดความผิดปกติในกระดูกและ ไขสันหลัง ทำให้ปอดอักเสบและเสียชีวิตได้<sup>3</sup> จากผลกระทบดังกล่าว นักวิทยาศาสตร์และนักวิจัยจำนวนมากพยายามที่จะหาวิธีการบำบัดสารดังกล่าว ซึ่งวิธีการบำบัดที่ใช้กันอย่างแพร่หลาย เช่น การตัดตอกนทางเคมี การกรองแบบผังกลับ แต่ต้องใช้บุบประมาณที่สูง สำหรับงานวิจัยนี้ ผู้วิจัยสนใจที่จะใช้วิธีการดูดซับ เนื่องจาก ไม่มีความซับซ้อน และง่ายต่อการปฏิบัติ ในกระบวนการดูดซับ ในการดูดซับ งานวิจัยผู้วิจัยได้มีการใช้แกลบและแกลบที่ปรับสภาพโดยใช้โซเดียมไฮดรอกไซด์ ร่วมกับกรดซิตริกโดยมีความร้อนเป็นตัวเร่งปฏิกิริยาเพื่อทำให้เกิดปฏิกิริยาเอสเทอเรติกเชิงเป็นการเปลี่ยนกลุ่มฟังชันกัน/mol ของไฮดรอกซิลให้เป็นคาร์บอนกซิลิกเพื่อเพิ่มประจุลบให้กับวัสดุ โดยในขั้นตอนการศึกษาผู้วิจัยได้ทำการศึกษาปัจจัยต่างๆ เช่น ความเป็นกรด-ด่าง ระยะเวลาสัมผัส ความเข้มข้นและอุณหภูมิที่มีผลต่อการดูดซับ เพื่อนำมาปรับยาไฮดรอกซิล จนศาสตร์ อุณหพลศาสตร์ และได้มีการศึกษาการคายซับเพื่อหาแนวทางในการจัดการกับวัสดุหลังการดูดซับ ที่เหมาะสม

## อุปกรณ์และวิธีการ

### การเตรียมแกลบ

การเตรียมแกลบทำได้โดยการนำแกลบมาล้างด้วยน้ำกลัน และนำไปอบที่อุณหภูมิ 105°C เป็นเวลา 24 ชั่วโมง แล้วทิ้งไว้ให้เย็นในโถดูดความชื้นทำการบดและร่อนผ่านตะกรงเบอร์ 60 (500 ไมครอน) และ 35 (250 ไมครอน) จากนั้นนำไปเก็บในภาชนะที่มีฝาปิดสนิทเพื่อป้องกันความชื้น

### การเตรียมแกลบที่ปรับสภาพทางเคมี

การเตรียมแกลบที่ปรับสภาพทางเคมีทำได้โดยการนำแกลบมาแช่ใน NaOH 0.2 M 4 ลิตร และนำไปเย่าที่ความเรื้อรอบ 150 รอบต่อนาที ที่อุณหภูมิห้อง (25°C±2) เป็นเวลา 2 ชั่วโมง ด้วยเครื่อง夷่างความคุมอุณหภูมิ ทิ้งไว้หนึ่งคืน จากนั้นนำมาล้างด้วยน้ำกลันจนค่าความเป็นกรด-ด่างของน้ำที่ผ่านการล้างเท่ากับน้ำกลัน ทำการกรองและนำไปอบที่อุณหภูมิ 80 องศาเซลเซียส เป็นเวลา 24 ชั่วโมง นำวัสดุดูดซับที่ผ่านการปรับสภาพด้วย NaOH แช่ในกรดซิตริกความเข้มข้น

1 M ในอัตราส่วน 1 : 7 ( gramm: มิลลิลิตร) นำไปเย่าด้วยความเร็ว 200 รอบต่อนาที ที่อุณหภูมิ 150 องศาเซลเซียส เป็นเวลา 4 ชั่วโมง จากนั้นนำมาล้างด้วยน้ำกลันจนค่าความเป็นกรด-ด่างของน้ำที่ผ่านการล้างเท่ากับน้ำกลัน และนำไปอบที่อุณหภูมิ 105°C เป็นเวลา 24 ชั่วโมง ทำการบดและร่อนผ่านตะกรงเบอร์ 60 (500 ไมครอน) และ 35 (250 ไมครอน) เก็บในภาชนะที่มีฝาปิดสนิทเพื่อป้องกันความชื้น<sup>4</sup>

### การศึกษาคุณสมบัติของวัสดุดูดซับ

คุณสมบัติของแกลบและแกลบปรับสภาพเป็นการศึกษาลักษณะพื้นที่ผิวของวัสดุดูดซับด้วยกล้องจุลทรรศน์แบบส่อง粒 (Scanning Electron Micro-scope; SEM) และเครื่อง Surface Area Analyzer (BET) ยี่ห้อ Bel-Japan รุ่น Bel Sorp moni II วิเคราะห์องค์ประกอบโดยอาศัยหลักการเลี้ยวเบนรังสีเอ็กซ์หรือ X-ray Diffracto-meter (XRD) วิเคราะห์ตรวจสอบหมุนฟังก์ชันโดยใช้เครื่อง Fourier Transform Infrared Spectrophotometer (FT-IR) รุ่น Tensor 27 วิเคราะห์ขนาดของรูพรุน เส้นผ่าศูนย์กลาง และปริมาณรูพรุนเฉลี่ยโดยใช้เครื่อง BET Surface Area Pore Size and Pore Volume Distribution Analyzer ยี่ห้อ Bel-Japan รุ่น Bel Sorp mini II

### การเตรียมน้ำเสียสังเคราะห์

ชั้นนิกเกล (II) ในตรด เอกซ์ไบเดรต 4.95 gramm จากนั้นเติมน้ำกลันให้มีปริมาตร 1,000 มิลลิลิตร โดยในสารละลายนิกเกล 1 มิลลิกรัม จะมีนิกเกลเท่ากับ 1 มิลลิกรัมต่อลิตร เตรียมไว้สำหรับเจือจางเพื่อใช้ในการศึกษาปัจจัยอื่นๆ

### ศึกษาปัจจัยที่เหมาะสมต่อการดูดซับ

งานวิจัยนี้ทำการศึกษาปัจจัยที่เหมาะสมต่อการดูดซับในรูปแบบการทดลองแบบบวกกัน โดยปัจจัยการดูดซับ ที่ทำการศึกษาประกอบด้วย ค่า pH (2-7) ระยะเวลาสัมผัส (0, 5, 10, 15, 30, 60, 120, 240, 360) ความเข้มข้นของสารละลายนิกเกลเริ่มต้น (5, 10, 25, 50, 100 มิลลิกรัมต่อลิตร) โดยในการดูดซับใช้แกลบและแกลบปรับสภาพเท่ากับ 250-500 ไมครอน ปริมาณตัวดูดซับที่ใช้เท่ากับ 5 gramm ต่อลิตร และความเรื้อรอบในการเบี่ยงเท่ากับ 150 รอบต่อนาที ของผสมที่ผ่านการดูดซับจะถูกกรองด้วยกระดาษกรอง Whatman No.42 ทำการวิเคราะห์ด้วยเครื่อง Atomic Absorption spectrophotometer (AAS) ยี่ห้อ Shimadzu aa-6200 การทดลองมีการควบคุมปัจจัยที่ศึกษาโดยการกำหนดชุดควบคุม (Blank) และทำการทดลองซ้ำ 3 ครั้ง (Triplicate Experiments) ค่าความเข้มข้นที่วิเคราะห์ได้จะถูกนำมาหาประสิทธิภาพการดูดซับโดยคำนวณ

## หารือถ่ายการดูดซับด้วยสมการที่ 1

$$\% Removal = \frac{C_i - C_f}{C_i} \times 100 \quad (1)$$

เมื่อ  $C_i$  = ความเข้มข้นเริ่มต้นของโลหะหนัก (มิลลิกรัมต่อลิตร)

$C_f$  = ความเข้มข้นคงเหลือของโลหะหนัก (มิลลิกรัมต่อลิตร)

## ศึกษาไฮโซเทอร์มของการดูดซับ

ในการศึกษาไฮโซเทอร์มการดูดซับเป็นการนำผลการศึกษาที่ได้จากการศึกษาผลของค่าความเข้มข้นของสารละลายนิเกิลเริ่มต้นและอุณหภูมิ มาทำการศึกษา โดยสมการที่นำมาศึกษาประกอบด้วย ไฮโซเทอร์มการดูดซับของแลงเมียร์ (Langmuir Adsorption Isotherm) ไฮโซเทอร์มการดูดซับของ ฟรุนดิช (Freudlich Adsorption Isotherm) ไฮโซเทอร์มการดูดซับของเทมคิน (Temkin Isotherm) และ ไฮโซเทอร์มการดูดซับของฮาร์คินส์-จูรา (Harkins-Jura Isotherm)

สมการแบบจำลองไฮโซเทอร์มการดูดซับของแลงเมียร์ซึ่งมีสมมุติฐานสมการการดูดซับของแลงเมียร์ มีสมมติฐานที่ว่าโมเลกุลของตัวถูกดูดซับจะเกิดการดูดซับบนผิวในตำแหน่งที่แน่นอนของตัวดูดซับแต่ละโมเลกุลของตัวดูดซับเกิดการดูดซับบนผิวแบบ ขั้นเดียว และมีรูปสมการดังสมการที่ 2 และ 3<sup>7</sup>

$$\frac{C_e}{q_e} = \frac{1}{q_m} C_e + \frac{1}{q_m K_L} \quad (2)$$

$$\frac{1}{q_e} = \frac{1}{q_m K_L} \frac{1}{C_e} + \frac{1}{q_m} \quad (3)$$

เมื่อ  $C_e$  คือ ความเข้มข้นของสารละลายนิเกิล ที่จุดสมดุล (มิลลิกรัมต่อลิตร)  $q_e$  คือ ปริมาณของนิเกิลที่ถูกดูดซับต่อปริมาณของแกลบหรือแกลบปรับสภาพ (มิลลิกรัมต่อลิตร)  $q_m$  คือ ความสามารถในการดูดซับ นิเกิลสูงสุด (มิลลิกรัมต่อลิตร) และ  $K_L$  คือ ค่าคงที่ แลงเมียร์ที่อุณหภูมิหนึ่งๆ (ลิตรต่อลิตร)

สมการแบบจำลองไฮโซเทอร์มของฟรุนดิช ซึ่งมีสมมติฐานของการดูดซับที่ว่าพื้นผิวของตัวดูดซับไม่เป็นเนื้อเดียวกันตลอด (พื้นผิวของตัวดูดซับมีลักษณะขุ่นระ) พื้นที่ผิวและพลังงานมีการกระจายตัวเป็นแบบ เลขชี้กำลัง<sup>4</sup> และมี

## รูปสมการดังสมการที่ 4 และ 5

$$q_e = K_F C_e^{1/n} \quad (4)$$

$$\log q_e = \frac{1}{n} \log C_e + \log K_F \quad (5)$$

เมื่อ  $K_F$  คือ ค่าคงที่ของฟรุนดิช (มิลลิกรัมต่อลิตร) และ  $n$  คือ ค่าคงที่ของฟรุนดิช<sup>5</sup> สมการแบบจำลองของเทมคิน เป็นการอธิบายการดูดซับทางเคมี ซึ่งถูกพัฒนามาจากกระบวนการที่การเปลี่ยนแปลงของความร้อนในการดูดซับ และมีรูปสมการดังสมการที่ 6 และ 7

$$q_e = \frac{RT}{b} \ln K_T C_e \quad (6)$$

$$q_e = \beta \ln K_T + \beta \ln C_e \quad (7)$$

เมื่อ  $T$  คือ อุณหภูมิสัมบูรณ์ (K)  $R$  คือ ค่าคงที่ของก้าซเท่ากับ 8.314 (จูลต่อมोลเคลวิล)  $K_T$  คือ ค่าคงที่สมดุล (kJ/mg)  $b$  คือ พลังงานการดูดซับ (กิโลจูลต่อมोล) และ  $\beta$  คือ ค่าคงที่ของเทมคิน (โมล<sup>2</sup>ต่อกิโลจูล<sup>2</sup>)

สมการแบบจำลองไฮโซเทอร์มของฮาร์คินส์-จูรา (Harkins-Jura Isotherm) เป็นการอธิบายถึงการดูดซับแบบหลายชั้น (Multilayer) โดยที่ A และ B จะเป็นค่าคงที่ของสมการ จะสามารถอธิบายการยึดเกาะภายใต้แรงดึงดูดของตัวดูดซับได้ ดังสมการที่ 8

$$\frac{1}{q_e^2} = \frac{B}{A} - \frac{1}{A} \log C_e \quad (8)$$

## การศึกษาจลนาศาสตร์ของการดูดซับ

ในการศึกษาจลนาศาสตร์การดูดซับเป็นการนำผลการศึกษาที่ได้จากการศึกษาผลของระยะเวลาสัมผัส (ที่ความเข้มข้นที่แตกต่างกัน) มาทำการศึกษาโดยใช้สมการ Pseudo First Order, Pseudo Second Order และ Intraparticle Diffusion ดังสมการ

สมการ Pseudo First Order ดังสมการที่ 11

$$\ln(q_e - q_t) = \ln q_e - \frac{k_1}{2.303} t \quad (11)$$

เมื่อ  $q_t$  คือ ความสามารถดูดซับนิเกิลที่จุดสมดุล (มิลลิกรัมต่อลิตร)  $q_e$  คือความสามารถในการดูดซับ นิเกิลต่อปริมาณแกลบหรือแกลบปรับสภาพ ที่เวลา  $t$  (มิลลิกรัมต่อลิตร)  $k_1$  คือค่าคงที่อัตราเร็วของปฏิกิริยาอันดับหนึ่งเทียบ (นาที<sup>-1</sup>) และ  $t$  คือเวลาที่ใช้ในการดูดซับ (นาที)

สมการ Pseudo-Second-Order ดังสมการที่ 12

$$\frac{t}{q_t} = \frac{1}{k_2 q_e^2} + \frac{1}{q_e} t \quad (12)$$

เมื่อ  $k_2$  คือ ค่าคงที่อัตราเร็วของปฏิกิริยาอันดับสอง เที่ยม (มิลลิกรัมต่อกรัม-นาที)

สมการการแพร่กระจายของอนุภาคภายในตัวอุดชับ (Intraparticle Diffusion) ดังสมการที่ 13

$$q_t = k_1 t^{1/2} + C \quad (13)$$

#### การศึกษาอุณหพลศาสตร์การอุดชับ

พารามิเตอร์ของอุณหพลศาสตร์ เช่น Enthalpy

Change ( $\Delta H^\circ$ ) Free Energy Change ( $\Delta G^\circ$ ) และ Entropy Change ( $\Delta S^\circ$ ) สามารถประมาณโดยใช้ค่าคงที่สมดุลการเปลี่ยนแปลงกับอุณหภูมิ การเกิดปฏิกิริยาการเปลี่ยนแปลง พลังงานอิสระของการอุดชับให้ผลตามสมการ ดังสมการที่ 14, 15 และ 16

$$\Delta G^\circ = -RT \ln K_L \quad (14)$$

$$\Delta G^\circ = \Delta H^\circ - T\Delta S^\circ \quad (15)$$

$$\ln K_L = \frac{\Delta H^\circ}{-RT} + \frac{\Delta S^\circ}{R} \quad (16)$$

เมื่อ  $\Delta G^\circ$  คือ พลังงานอิสระของ Gibbs (kJ/mol-1) R คือ ค่าคงที่ของก๊าซ ( $8.314 \text{ K}^{-1} \text{ mol}^{-1}$ )  $K_L$  คือ ค่าคงที่สมดุลทางอุณหพลศาสตร์ และ T คือ ค่าสมประสิทธิ์อุณหภูมิ (K)

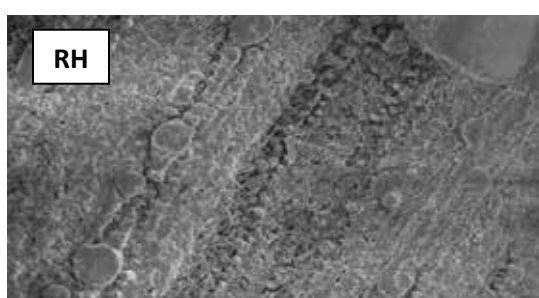
การคำนวณค่า  $K_L$  สามารถคำนวณได้ 3 รูปแบบ คือ

$$K_L = K_F^n$$

$$K_L = 1/b$$

$$K_L = q_e / c$$

แสดงความสัมพันธ์ระหว่างสมการลงเมียร์และฟรุนเดิช โดยคำนวณค่า  $K_L$  ได้ 3 รูปแบบ ได้แก่  $K_L = K_F^n$  ค่า  $K_F$  ได้มา จากค่าคงที่ของสมการฟรุนเดิช  $K_L = 1/b$  ค่า b ได้มาจากการคำนวณค่าคงที่ของสมการลงเมียร์ ( $K_L$ )



#### การศึกษาการคายซับของโลหะหนัก

นำแกลบและแกลบปรับสภาพที่ผ่านการอุดชับและผ่านการอบที่อุณหภูมิ 80 องศาเซลเซียส เป็นเวลา 3 ชั่วโมง แล้วใส่ลงในขวดรูปทรงผู้ชายขนาด 250 มิลลิลิตร จำนวน 0.5 กรัม เติมกรดในตริกความเข้มข้น 0.5, 1.0 และ 1.5 โมลาร์ ปริมาตร 100 มิลลิลิตร แล้วนำไปเขย่าในเครื่องเขย่าด้วยความเร็วรอบ 150 รอบต่อนาที ที่อุณหภูมิ 30 องศาเซลเซียส เป็นเวลา 30 นาที การแยกตัวอุดชับโดยการกรอง และวัดค่าความเข้มข้นของนิเกลด้วยเครื่อง AAS หลังจากนั้นให้คำนวณการคายซับจากสมการประสิทธิภาพการคายซับ<sup>14</sup> ดังสมการที่ 16

$$D = \left\{ \frac{[(C_i - C_e) - C_d]}{C_i - C_d} \right\} \quad (16)$$

เมื่อ D คือ ประสิทธิภาพการคายซับ (%)  $C_i$  คือ ความเข้มข้นเริ่มต้นของสารละลายนิเกล (มิลลิกรัมต่อลิตร)  $C_e$  คือ ความเข้มข้นของนิเกล (ตัวอุดชับ) ในสารละลายที่จุดสมดุล (มิลลิกรัมต่อกรัม) และ  $C_d$  คือ ความเข้มข้นของนิเกลที่เหลืออยู่ (มิลลิกรัมต่อลิตร)

#### ผลและอภิปรายผล

##### ผลศึกษาคุณสมบัติของวัสดุอุดชับ

จากการศึกษาคุณสมบัติของตัวอุดชับจะแสดงลักษณะพื้นที่ของแกลบและแกลบปรับสภาพโดยใช้เครื่อง SEM ที่กำลังขยาย 500 เท่า พบว่า การปรับสภาพด้วยวิธี Alkali-Acid Modification โดยใช้สารละลายโซเดียมไฮดรอกไซด์ และสารละลายกรดซิตริกร่วมกับความร้อนทำให้พื้นที่ผิวของวัสดุเปลี่ยนสภาพให้เหมาะสมแก่การอุดชับมากยิ่งขึ้น และยังช่วยชะล้างไขมันและสิ่งสกปรกออกจากพื้นที่ผิวของวัสดุ อีกทั้งยังช่วยในการถลุงพันธุ์โคเคนต์ระห่ำห่วงลิกนินและเซลลูโลส ไฮโดรเจลล์ไฮมิเซลลูโลสและการถลุงโครงสร้างของลิกนิน ดัง Figure 1 ทำให้มีแนวโน้มเพิ่มไป ประสิทธิภาพในการอุดชับโลหะหนักได้ดีขึ้น<sup>6</sup>

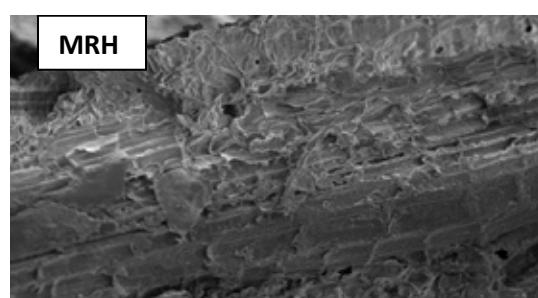
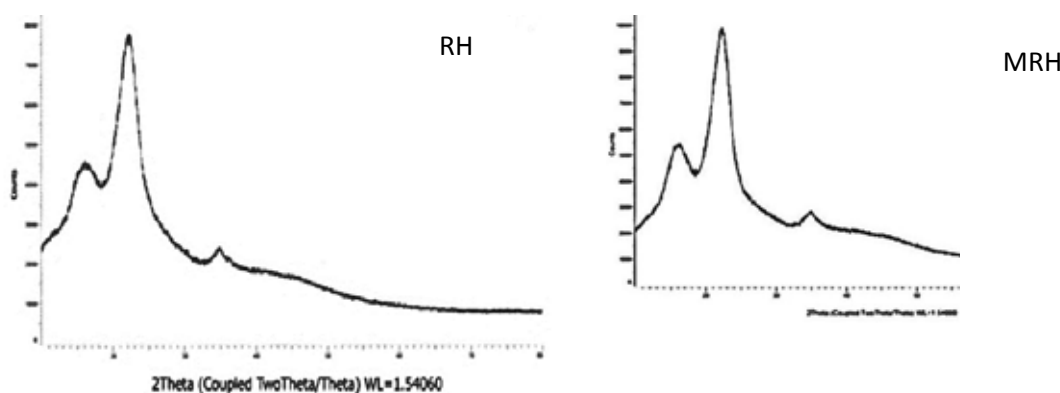
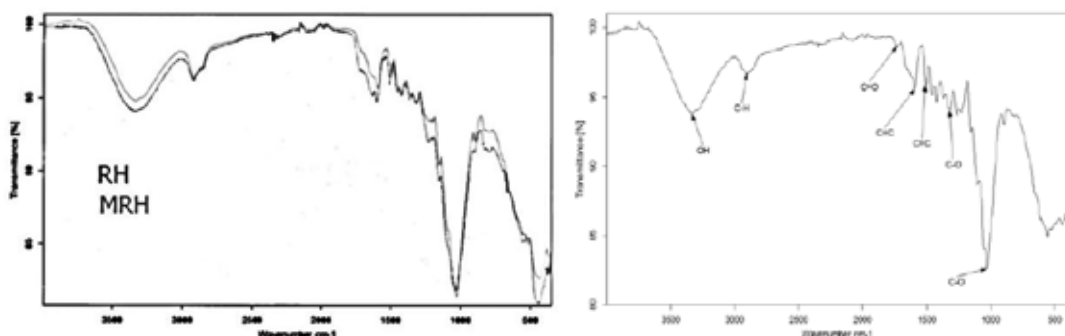


Figure 1 Characteristics of surface area in RH and MRH of adsorption using SEM at times 500 magnification



**Figure 2** Characteristics of configuration in RH and MRH of adsorption using X-ray



**Figure 3** FT-IR spectra of RH and MRH

ภาพถัดมาคือการแสดงองค์ประกอบของแกลบและแกลบที่ปรับสภาพที่วิเคราะห์โดยเครื่อง X-Ray พบร้าวัสดุที่โครงสร้างที่ไม่แน่นอนหรืออสัณฐาน และเมื่อหลังจากการปรับสภาพเชลูลอสและเอมิเซลูโลสที่ถูกกำจัดไปจึงทำให้เส้นกราฟมีความเป็นระเบียบเพิ่มมากขึ้น ดังแสดง Figure 2 นอกจากนี้ จาก Figure 3 ผลวิเคราะห์ FT-IR จะปรากฏพื้นที่ 3400  $cm^{-1}$  แสดงการสั่นของ O-H stretching ตำแหน่งต่อมาพบที่ 1800  $cm^{-1}$  แสดงการสั่นของ C-O ทั้งหมดเป็นหมู่ฟังก์ชันที่เป็นเอกลักษณ์เฉพาะของชิลิกาซึ่งการที่แกลบปรับสภาพมีกลุ่มฟังก์ชันต่างๆ เพิ่มมากขึ้น ทั้งนี้เป็นเพราะผลของการทำปฏิกิริยาโดยการดีซิตริกและการใช้ความร้อนเป็นตัวเร่งปฏิกิริยา ทำให้เกิดปฏิกิริยาเอสเทอโรฟิเดชันเปลี่ยนกลุ่มฟังก์ชันจากไอดรอกซิลเป็นคาร์บออกซิล ซึ่งเป็นการเพิ่มไอออนลบ ( $COO^-$ ) ให้แก้วัสดุ ทำให้เพิ่มความสามารถในการดูดซับโลหะหนักที่มีประจุบวกได้เพิ่มมากขึ้น<sup>7</sup>

**Table 1** Characteristics of surface area (RH) and (MRH) of adsorption using BET

| Adsorbent | BET surface area ( $m^2/g$ ) | Total pore volume ( $cm^3/g$ ) | Mean pore diameter (nm) |
|-----------|------------------------------|--------------------------------|-------------------------|
| RH        | 2.67                         | 1.112                          | 16.713                  |
| MRH       | 3.39                         | 1.145                          | 16.781                  |

จากการศึกษาคุณสมบัติของวัสดุดูดซับ Table 1 พบว่าเมื่อทำการปรับสภาพทำให้วัสดุดูดซับ มีคุณสมบัติที่เปลี่ยนไป ได้แก่ พื้นที่ผิว ปริมาณรูพรุนและหมู่ฟังก์ชัน ซึ่งการปรับสภาพวัสดุด้วยวิธี Alkali-Acid Modification มีแนวโน้มสามารถเพิ่มประสิทธิภาพในการดูดซับให้แก้วัสดุดูดซับในการดูดซับได้ จากการนำแกลบและแกลบปรับสภาพไปวัดด้วยเครื่อง Surface Area Analyzer (BET) ซึ่งแสดงให้เห็นพื้นที่ผิวจำเพาะ ขนาดรูพรุน ปริมาตรรวมของรูพรุน โดยแกลบและแกลบปรับสภาพมีพื้นที่ผิวเท่ากับ 2.67 ตารางเมตรต่อกิโลกรัม และ 3.39 ตารางเมตรต่อกิโลกรัม ขนาดรูพรุนของแกลบและแกลบปรับสภาพมีค่าเท่ากับ 1.11 ลูกบาศก์เซนติเมตรต่อกิโลกรัม และ

1.14 ลูบนาศักก์เซนติเมตรต่อวัตต์ ตามลำดับ จากการศึกษาการกระจายตัวของรูพรุน พบว่า รูพรุนส่วนใหญ่มีขนาดอยู่ในช่วง 2-50 นาโนเมตร ซึ่งจัดว่าเป็นรูพรุนขนาดกลาง (Mesopore) และมีขนาดรูพรุนของแกลบและแกลบปรับสภาพโดยเฉลี่ยเท่ากับ 16.71 นาโนเมตร และ 16.78 นาโนเมตร จากการศึกษาที่ได้จะเห็นว่าพื้นที่ผิวจำเพาะ ปริมาตรรวมของรูพรุน และขนาดของรูพรุนมีค่าเพิ่มมากขึ้น เป็นผลมาจากการบวนการปรับสภาพ ซึ่งสอดคล้องกับผลการศึกษาและงานวิจัยที่ผ่านมา ที่ได้ทำการปรับสภาพด้วยวิธี Alkaline Acid Modification ดังที่ได้อธิบายไว้ข้างต้น

#### ผลการศึกษา pH

ผลจากการศึกษาค่า pH ที่มีผลต่อประสิทธิภาพการดูดซับนิเกิลโดยใช้แกลบและแกลบปรับสภาพ ผลการศึกษาแสดงดัง Figure 4

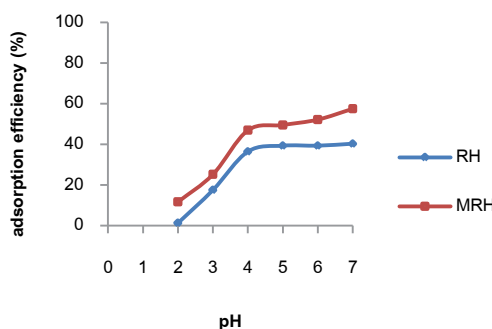


Figure 4 Effect of pH on  $\text{Ni}^{2+}$  adsorption

การศึกษาพบว่าเมื่อ pH ต่ำ ประสิทธิภาพการดูดซับจะต่ำเนื่องจากมีไฮโดรเจนไอออนเป็นจำนวนมากจึงทำให้เกิดการแยกกับวัสดุดูดซับ และเมื่อ pH เพิ่มขึ้นประสิทธิภาพการดูดซับก็จะเพิ่มขึ้น<sup>8</sup> จากการศึกษา ที่ผ่านมาพบว่า เมื่อ pH มากกว่า 6 นิเกิลจะตกตะกอน ในรูปของนิเกิลไฮดรอกไซด์  $\text{Ni(OH)}_2$  จึงทำให้ ไม่สามารถแยกแยะระหว่างประสิทธิภาพการดูดซับและการตกตะกอนได้ ผู้วิจัยจึงเลือก pH 5 เพื่อนำมาศึกษาปัจจัยต่อไป และเมื่อทำการเปรียบเทียบระหว่างแกลบและแกลบที่ปรับสภาพ พบว่า แกลบที่ปรับสภาพมีประสิทธิภาพการดูดซับที่สูงกว่า เพราะว่าการปรับสภาพด้วยกระบวนการ Alkali-Acid Modification จะทำให้โครงสร้างของวัสดุเปลี่ยนไป ทั้งยังเป็นการเพิ่มรูพรุนให้กับวัสดุ จึงทำให้ประสิทธิภาพการดูดซับสูงขึ้น

#### ผลการศึกษาระยะเวลาสัมผัส

ผลจากการศึกษาระยะเวลาสัมผัสที่มีผลต่อประสิทธิภาพการดูดซับนิเกิลโดยใช้แกลบและแกลบปรับสภาพ ผลการศึกษาแสดงดัง Figure 5

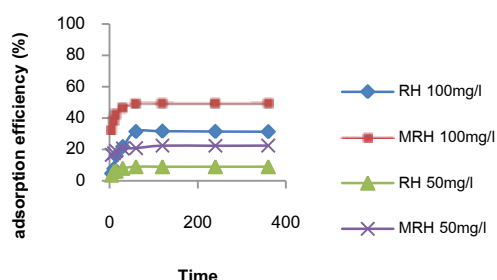
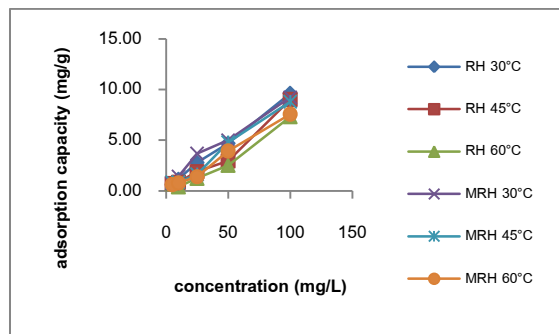


Figure 5 Effect of time on  $\text{Ni}^{2+}$  removal rate.

จากการศึกษาประสิทธิภาพการดูดซับนิเกิล ในความเข้มข้นที่แตกต่างกัน คือที่ความเข้มข้น 50 มิลลิกรัมต่อลิตร และ 100 มิลลิกรัมต่อลิตร พบว่าประสิทธิภาพการดูดซับจะสูงขึ้นเมื่อความเข้มข้นสูงขึ้น ทั้งนี้ เนื่องมาจากมีปริมาณสารละลายอยู่ในตัวทำละลายในปริมาณที่มากจึงทำให้เกิดการแยกกับตัวดูดซับได้มาก และเมื่อพิจารณาตามระยะเวลาสัมผัสที่เพิ่มขึ้น พบว่า ประสิทธิภาพในการดูดซับที่ความเข้มข้นทั้งสองมีแนวโน้มเพิ่มขึ้นตามระยะเวลาที่เพิ่มขึ้น ทั้งนี้ เนื่องจากในระยะแรกของการดูดซับปริมาณรูพรุนยังมีอยู่มาก การดูดซับจึงเกิดขึ้นอย่างรวดเร็วและเมื่อเวลาผ่านไปรูพรุนของตัวดูดซับลดลงจึงทำให้การดูดซับค่อยๆ ลดลงจนถึงจุดสมดุลของการดูดซับ

#### ผลการศึกษาความเข้มข้นเริ่มต้นต่ออุณหภูมิ

จากการศึกษาพบว่าเมื่อความเข้มข้นของสารละลายเพิ่มมากขึ้นประสิทธิภาพในการดูดซับก็จะสูงขึ้น และเมื่อทำการเพิ่มอุณหภูมิทำให้ความสามารถในการดูดซับลดลง เพราะว่าเป็นปฏิกิริยาที่สามารถเกิดขึ้นได้เองและเป็นปฏิกิริยาคายความร้อน (Exothermic Reaction) ดังนั้นอุณหภูมิที่เหมาะสมในการศึกษาคืออุณหภูมิที่ 30°C และความเข้มข้นที่เหมาะสมคือ 50 มิลลิกรัมต่อลิตร ผลดัง Figure 6



**Figure 6** Effects of initial  $Ni^{2+}$  concentration on adsorption capacity of RH and MRH

ผลการศึกษาໄอโซเทอร์มการดูดซับ นำค่าความเข้มข้นต่ออุณหภูมิไปทำการศึกษาໄอโซเทอร์มของกราฟดูดซับโดยใช้สมการของ Langmuir, Freundlich Isotherm เพื่อหาสมการที่เหมาะสมในการอธิบายกลไกการดูดซับและหาค่าความสามารถในการดูดซับสูงสุดแสดงใน Table 2 และ 3 การศึกษาໄอโซเทอร์ม เมื่อพิจารณาจากค่า  $R^2$  พบว่า มีความใกล้เคียงกับสมการลงเมียร์ ซึ่งสามารถอธิบายได้ตามทฤษฎีของลงเมียร์ ได้ว่า การดูดซับสามารถเกิดได้มากที่สุดและมีความหนาเพียงชั้นเดียว แต่จะดำเนิน จะสามารถจับสารที่ถูกดูดซับได้เพียงตัวเดียวเท่านั้น ซึ่งเป็นการดูดซับแบบชั้นเดียว (Monolayer type adsorption)<sup>10</sup>

**Table 2** The parameters of Langmuir Freundlich for RH adsorption.

| temp.<br>(°C) | Langmuir        |                     |       | Freundlich     |      |       | Temkin      |      |       | Harkins-Jura |      |       |
|---------------|-----------------|---------------------|-------|----------------|------|-------|-------------|------|-------|--------------|------|-------|
|               | $Q_m$<br>(mg/g) | $K_L$<br>(L/<br>mg) | $R^2$ | $K_F$<br>(g/L) | n    | $R^2$ | KT<br>(L/g) | b    | $R^2$ | A            | B    | $R^2$ |
| 30            | 2.80            | 1.25                | 0.828 | 1.04           | 1.57 | 0.925 | 3.34        | 0.25 | 0.616 | 0.46         | 2.83 | 0.682 |
| 45            | 1.78            | 0.94                | 0.945 | 1.25           | 1.68 | 0.764 | 2.27        | 0.41 | 0.477 | 0.47         | 2.31 | 0.788 |
| 60            | 1.74            | 0.93                | 0.925 | 2.08           | 1.34 | 0.874 | 1.96        | 0.61 | 0.561 | 0.26         | 6.37 | 0.214 |

**Table 3** The parameters of Langmuir Freundlich for MRH adsorption.

| temp.<br>(°C) | Langmuir        |                 |       | Freundlich     |      |       | Temkin      |      |       | Harkins-Jura |      |       |
|---------------|-----------------|-----------------|-------|----------------|------|-------|-------------|------|-------|--------------|------|-------|
|               | $Q_m$<br>(mg/g) | $K_L$<br>(L/mg) | $R^2$ | $K_F$<br>(g/L) | n    | $R^2$ | KT<br>(L/g) | b    | $R^2$ | A            | B    | $R^2$ |
| 30            | 3.20            | 0.36            | 0.969 | 1.55           | 2.20 | 0.747 | 3.98        | 0.30 | 0.416 | 0.73         | 0.51 | 0.557 |
| 45            | 1.72            | 1.69            | 0.955 | 1.59           | 3.27 | 0.623 | 5.34        | 1.13 | 0.238 | 0.67         | 1.07 | 0.694 |
| 60            | 2.54            | 0.05            | 0.954 | 2.18           | 3.05 | 0.525 | 4.58        | 1.04 | 0.321 | 0.35         | 4.50 | 0.858 |

ผลการศึกษาจลนศาสตร์การดูดซับ จากผลการศึกษาระยะเวลาที่เพิ่มขึ้นทำให้ประสิทธิภาพการดูดซับแตกต่างกันแสดงว่าความเข้มข้นของนิเกลียมีผลต่ออัตราเร็วของการดูดซับโดยผลการทดลองดังกล่าวจะนำมา

ศึกษาแก้ไขทางจลนศาสตร์สมการที่จะนามศึกษา ได้แก่ Pseudo First Order และ Pseudo Second Order และการแพร่กระจายภายในอนุภาค ดัง Table 4

**Table 4** Pseudo First Order, Pseudo Second Order and Intraparticle Diffusion constants for adsorption of lead on Rich Husk and modified Rich Husk.

| Concentration<br>(mg/L) | Pseudo First Order |                 |       | Pseudo Second Order     |                 |       | Intraparticle Diffusion     |        |       |
|-------------------------|--------------------|-----------------|-------|-------------------------|-----------------|-------|-----------------------------|--------|-------|
|                         | $K_1$<br>(min⁻¹)   | $q_e$<br>(mg/g) | $R^2$ | $K_2$<br>(mg/g⁰·⁵min⁻¹) | $q_e$<br>(mg/g) | $R^2$ | $K_{id}$<br>(mg⁰·⁵min⁰·⁵/g) | $C_i$  | $R^2$ |
| 50 RH                   | 7.40               | 0.06            | 0.989 | 39.84                   | 0.007           | 0.998 | 3.32                        | 123.19 | 0.155 |
| 100 RH                  | 26.75              | 0.18            | 0.977 | 80.66                   | 0.002           | 0.999 | 0.66                        | 61.24  | 0.014 |
| 50 MRH                  | 1.65               | 0.01            | 0.975 | 41.49                   | 0.007           | 0.998 | 3.82                        | 171.62 | 0.118 |
| 100MRH                  | 26.95              | 0.14            | 0.993 | 83.33                   | 0.002           | 0.998 | 0.53                        | 35.82  | 0.008 |

เมื่อพิจารณาจากค่า  $R^2$  พบว่า มีความใกล้เคียงกับสมการ Pseudo Second Order สามารถอธิบายได้ตามทฤษฎีได้ว่า ในการเคลื่อนที่ของไอออนนิเกลผ่าน ชั้นฟิล์มของเหลวและแพร่ผ่านเข้าไปในรูปนเป็นขั้นตอนในการควบคุมอัตราเร็วของการดูดซับ<sup>11</sup>

### ผลการศึกษาเทอร์โมไดนามิกซ์

การศึกษาอุณหพลศาสตร์การดูดซับของแกลบและแกลบปรับสภาพ พบว่า  $\Delta G^\circ$  มีค่าที่เป็นลบ และให้เห็นว่าปฏิกิริยาการดูดซับดังกล่าวสามารถเกิดขึ้น ได้เอง (Spontaneous Reaction)  $\Delta H^\circ$  อธิบายได้ว่าปฏิกิริยาการดูดซับที่เกิดขึ้นเป็นปฏิกิริยาความร้อน (Exothermic Reaction) โดยผลของแกลบและแกลบปรับสภาพมีค่าเท่ากับ -7.68 กิโลจูลต่อมोล และ -49.43 กิโลจูลต่อมोล และ  $\Delta S^\circ$  ของแกลบและ แกลบปรับสภาพ มีค่าเท่ากับ -176.39 จูลต่อมोล- เคลวิน และ -26.16 จูลต่อมोลเคลวิน ซึ่งแสดงให้เห็นถึงการดูดซับที่เกิดขึ้นทำให้ระบบมีความเป็นระเบียบมากขึ้น<sup>12</sup>

### ผลการศึกษาการรายซับ

ศึกษาการรายซับนิเกล ( $Ni^{2+}$ ) โดยใช้แกลบและแกลบปรับสภาพ ที่ภาวะที่เหมาะสมต่อการดูดซับที่ pH 5 ระยะเวลา 60 นาที ความเข้มข้นเริ่มต้นที่ 50 มิลลิกรัมต่อลิตร อุณหภูมิ  $30^\circ C$  นำมา cavity โดยใช้กรด ไนโตริก ( $HNO_3$ ) ที่ความเข้มข้น 0.5, 1, และ 1.5 โมล/ลิตร ปริมาณ 100 มิลลิกรัม ได้ผลการศึกษาดัง Figure 7

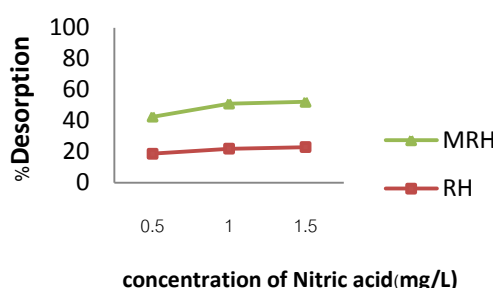


Figure 7 Efficiency of desorption

พบว่าประสิทธิภาพการรายซับของแกลบและแกลบปรับสภาพที่ความเข้มข้น 0.5 โมล/ลิตร มีค่า 18.75%, 23.85% ที่ความเข้มข้น 1 โมล/ลิตร 22.02%, 29.03% และที่ความเข้มข้นที่ความเข้มข้น 1.5 โมล/ลิตร 22.99%, 29.19% ตามลำดับจะเห็นได้ว่าประสิทธิภาพการรายซับมีแนวโน้มสูงขึ้นแต่ไม่มาก เมื่อความเข้มข้นของกรดไนโตริกสูงขึ้นเนื่องจากไอโอดีเจนอิโอน ( $H^+$ ) ของกรดไนโตริกไปแทนที่ของนิเกลอิโอน ( $Ni^{2+}$ ) ทำให้

นิเกลอิโอน ( $Ni^{2+}$ ) หลุดออกจากตัวดูดซับส่งผลให้เกิดประสิทธิภาพการรายซับ<sup>15</sup> จากผลดังกล่าวแสดงให้เห็นว่า แกลบและแกลบปรับสภาพหลังผ่านการดูดซับควรนำไปฝังกลบอย่างปลอดภัยเนื่องจากยังมีค่าประสิทธิภาพการรายซับค่อนข้างต่ำเมื่อนำไปฝังกลบอย่างปลอดภัยจะส่งผลกระทบต่อสิ่งแวดล้อมได้น้อยมาก หากการศึกษาทั้งหมดสามารถสรุปได้ว่า แกลบและแกลบปรับสภาพเป็นวัสดุดูดซับที่น่าสนใจและมีประสิทธิภาพในการดูดซับนิเกล

### สรุปผลการศึกษา

จากการศึกษา สรุปได้ว่า pH ที่เหมาะสมต่อการดูดซับนิเกลโดยใช้แกลบและแกลบปรับสภาพคือที่ pH 5 ระยะเวลาในการสัมผัศึกษาที่ 60 นาที ความเข้มข้นที่เหมาะสมคือ 50 มิลลิกรัมต่อลิตร ที่อุณหภูมิ 30 องศาเซลเซียส ที่สภาวะดังกล่าวจะมีความสามารถในการดูดซับสูงสุดที่ 2.80 มิลลิกรัมต่อกิโลกรัม และการศึกษา ไอโซเทอร์มพบว่าสอดคล้องกับสมการของแลงเมียร์การศึกษาจนศาสตร์สอดคล้องกับ Pseudo second order อีกทั้งปฏิกิริยาที่เกิดขึ้นเป็นปฏิกิริยาที่สามารถเกิดขึ้นได้เอง และเป็นปฏิกิริยาความร้อน ประสิทธิภาพการรายซับของแกลบและแกลบปรับสภาพสูงอยู่ที่ 22.99% และ 29.19% เปอร์เซ็นต์ตามลำดับ ที่ความเข้มข้น 1.5 โมล/ลิตร ดูดซุกการดูดซับควรนำไปฝังกลบอย่างปลอดภัย เนื่องจากเป็นการส่งผลกระทบต่อสิ่งแวดล้อมน้อยที่สุด

### กิตติกรรมประกาศ

ขอขอบคุณกองส่งเสริมการวิจัยและบริการวิชาการ มหาวิทยาลัยมหาสารคาม สำหรับทุนสนับสนุนการวิจัย ผู้มอบทุนทุนอุดหนุนการวิจัย ปีงบประมาณ 2557 รวมทั้งคณะสิ่งแวดล้อมและทรัพยากรศาสตร์ มหาวิทยาลัยมหาสารคาม ที่ให้ความอนุเคราะห์ในการใช้เครื่องมือและอุปกรณ์วิทยาศาสตร์ ศูนย์เครื่องมือวิทยาศาสตร์และเทคโนโลยี มหาวิทยาลัยเทคโนโลยีสุรนารีและคณะทันตแพทยศาสตร์มหาวิทยาลัย ขอนแก่น ที่ให้ความอนุเคราะห์ลดหย่อนค่าวิเคราะห์คุณลักษณะ และองค์ประกอบของตัวดูดซับ ตลอดจนคณาจารย์และเจ้าหน้าที่ของคณะสิ่งแวดล้อมและทรัพยากรศาสตร์ทุกท่านที่ให้ความเอื้อเฟื้อในด้านต่างๆ งานนวัตกรรมสามารถดำเนินการสำเร็จลุล่วงไปได้ด้วยดี

### เอกสารอ้างอิง

1. ชัยมงคล ไชยสินธุ. 2545. ประสิทธิภาพในการกำจัดโครงเมียมและนิกเกลจากน้ำเสียโรงงานชุบเคลือบด้วยโลหะด้วยไฟฟ้าโดยใช้สารปอชโซลาน. วิทยานิพนธ์

- ปริญญาวิทยาศาสตร์มหาบัณฑิต. มหาวิทยาลัยขอนแก่น.  
ขอนแก่น
2. กระทรวงอุตสาหกรรม. 2539. มาตราฐานน้ำทึ้งที่ระบาย  
ออกจากโรงงานอุตสาหกรรม
  3. พรพิมล ห่อสุวรรณชัย. การนำบัดโลหะหนักบางชนิดในน้ำ  
เสียชุมชน โดยวิธีหมักกรอง. วิทยานิพนธ์ปริญญาวิทยา  
ศาสตร์มหาบัณฑิต. บัณฑิตวิทยาลัย มหาวิทยาลัย  
เกษตรศาสตร์
  4. Przemysław Bartczak, Małgorzata Norman, Łukasz  
Kłapiszewski, Natalia Karwan'ska, Małgorzata  
Kawalec, Monika Baczyńska, Marcin Wysokowski,  
Jakub Zdarta, Filip Ciesielczyk, Teofil Jesionowski.  
Removal of nickel(II) and lead(II) ions from aqueous  
solution using peat as a low-cost adsorbent:  
A kinetic and equilibrium study. Arabian Journal of  
Chemistry (2015)
  5. Amira M. Mahmoud, Fatma A. Ibrahim, Seham A.  
Shaban, Nadia A. Youssef. Adsorption of heavy  
metal ion from aqueous solution by nickel oxide nano  
catalyst prepared by different methods. Egyptian  
Journal of Petroleum (2015) 24, 27–35
  6. Nady A. Fathy, Ola I. El-Shafey, and Laila B. Khalil.  
2013(2013). Effectiveness of Alkali-Acid Treatment  
in Enhancement the Adsorption Capacity for Rice  
Straw : The Removal of Methylene Blue Dye
  7. Yusra Safa, Haq Nawaz Bhatti. Kinetic and thermo-  
dynamic modeling for the removal of Direct Red-31  
and Direct Orange-26 dyes from aqueous solutions  
by rice husk. Desalination 272 (2011) 313–322
  8. L.Mangaleswaran, A.Thirulogachandara, V.Rajasekar,  
C.Muthukumarab,K.Rasappan. Batch and fixed bed  
column studies on nickel(II) adsorption from aqueous  
solution by treated polyurethane foam. Journal of the  
Taiwan Institute of Chemical Engineers 55 (2015)  
112–118
  9. Malihe Fouladgar, Masoud Beheshti, Hassan Sa-  
bzyan. Single and binary adsorption of nickel and  
copper from aqueous solutions by  $\gamma$ -alumina nano-  
particles: Equilibrium and kinetic modeling. Journal  
of Molecular Liquids 211 (2015) 1060–1073
  10. Qingge Feng, Qingyu Lin, Fuzhong Gong, Shuichi  
Sugita, Masami Shoya. Adsorption of lead and mer-
  - cury by rice husk ash. Journal of Colloid and Interface  
Science 278 (2004) 1–8
  11. Nabisab Mujawar Mubarak, Jaya Narayan Sahu,  
Ezzat Chan Abdullah, Natesan Subramanian Jaya-  
kumar. Rapid adsorption of toxic Pb(II) ions from  
aqueous solution using multiwall carbon nanotubes  
synthesized by microwave chemical vapor deposition  
technique. JOURNAL OF ENVIRONMENTAL SCI-  
ENCES XX (2016)
  12. อุษณีย์ รักษาใช้บรรณ, ยุพดี ภูรัตนกิจวงศ์, โกวิทย์ปิยะ  
มังคลา. การดูดซับไฮอนเจนโดยไคโตซานเรซิน: ผลของ  
อุณหภูมิ. วารสารวิชาการ ลาดกระบัง2558
  13. Arameh Masoumi, Khadijeh Hemmati, Mousa Ghaemy.  
Low-cost nanoparticles sorbent from modified rice  
husk and a copolymer for efficient removal of Pb(II)  
and crystal violet from water. Chemosphere 146  
(2016)
  14. Mandeep Singh, Binoy Sarkar, Bhabananda Biswas,  
Jock Churchman, Nanthi S. Bolan. Adsorption-des-  
orption behavior of dissolved organic carbon by soil  
clayfractions of varying mineralogy. Geoderma 280  
(2016) 47–56
  15. เกษราพร สุอรุณ, และ โกวิทย์ ปิยะมังคลา. จนศาสตร์  
การดูดซับไฮอนเจนโดยเรซินไคโตซาน. ว.วิทย. มช.  
40(4) 1285-1300 (2555)